



LB. 2045.

PANORAMICA DE LOS RELIEVES DEL CRETACICO SUPERIOR, EN EL BORDE SE. DE LA HOJA. EN PRIMER TERMINO CALIZAS BLANCAS DEL SANTONIENSE (C₂₄).



LB. 2046.

VISTA PARCIAL DE UN AFLORAMIENTO DEL CRETACICO SUPERIOR, EN EL CERRO DE ESPARTOSILLA. EN PRIMER TERMINO DERRUBIOS DE LADERA (Q₂L)

1.- DOLOMIAS Y CALIZAS (C₂₁₋₂₃²³⁻⁰)

2.- CALIZAS SANTONIENSES (C₂₄).



LB. 2047.

VISTA PARCIAL DE LOS ULTIMOS NIVELES
DOLOMITICOS PERTENECIENTES AL CENOMA-
NIENSE-CONIACIENSE. (C₂₁₋₂₃²³⁻⁰), EN EL
CERRO DE ESPARTOSILLA.

LB. 2048.

VISTA PARCIAL DE LOS NIVELES CALCAREOS
DEL SANTONIENSE (C₂₄), EN EL CERRO DE
ESPARTOSILLA.





LB. 2049.

DETALLE DE NIVEL DOLOMITICO PERTENE-
CIENTE A LA UNIDAD CALCODOLOMITICA DEL
CENOMANIENSE-CONIACENSE (C²³⁻⁰₂₁₋₂₃).

LB. 2050.

DETALLE DE CALIZA SANTONIENSE (C₂₄),
EN EL CERRO ESPARTOSILLA.





LB. 2051.

VISTA PARCIAL DE LAS CALIZAS Y DOLOMIAS DEL CRETÁCICO SUPERIOR, EN EL ANGULO SE. DE LA HOJA.

1.- DOLOMIAS Y CALIZAS DEL CENOMANIENSE-CONIACENSE (C_{21-23}^{23-0})

2.- CALIZAS DEL SANTONIENSE (C_{24}).



LB. 2052.

VISTA PARCIAL DE UN NIVEL BIOCALCARENITICO DEL HELVETIENSE (T_1^{Bb}), EN LAS CASAS DEL POZO DE LA HIGUERA, AL SUR DE LA HOJA.



LB. 2053.

DETALLE DEL NIVEL REPRESENTADO EN
LA FOTOGRAFIA ANTERIOR.



LB. 2054.

PANORAMICA DE LA HOZ DEL JUCAR, EN LAS PROXIMIDADES DE LA JORGUERA, DONDE SE OBSERVA LA MONOTONA SUCESION DE CALIZAS, CALIZAS MARGOSAS Y MARGAS DEL MIOCENO SUPERIOR-PLIOCENO. (Tcm^{8c2-8}_{c12-2}).



LB. 2055.

PANORAMICA DE LOS SEDIMENTOS MARGOSOS Y CALCOMARGOSOS DEL MIOCENO SUPERIOR-PLIOCENO, EN EL ANGULO NO. DE LA HOJA. CONSTITUYE ESTE PUNTO UNO DE LOS MEJORES YACIMIENTOS DE GASTEROPODOS DE LA ZONA.

1.- MARGAS CON PASADAS LIGNITIFERAS Y CALIZAS MARGOSAS (Tcm^{Bc2-B}_{c12-21}).

2.- ARENAS, ARENISCAS Y CALIZAS ARENOSAS DEL PLIOCUATERNARIO. EN LA BASE RESTOS DE VERTEBRADOS (✓).



LB. 2056.

VISTA PARCIAL DE LOS NIVELES MARGOSOS DE LA PANORAMICA ANTERIOR. LAS PASADAS BLANQUECINAS CORRESPONDEN A NIVELES CON ABUNDANTE FAUNA DE GASTEROPODOS.



LB. 2057.

DETALLE DE UNO DE LOS NIVELES FOSILIFEROS DE LA FOTOGRAFIA ANTERIOR.



LB. 2058.

VISTA PARCIAL DE LAS CALIZAS, MARGOCALIZAS Y MARGAS DEL MIOCENO SUPERIOR-PLIOCENO (T_{cm}^{Bc2-B} _{c12-21}). EN PRIMER TERMINO RESTO DE UNA TERRAZA ALTA DEL RIO JUCAR.



LB. 2059.

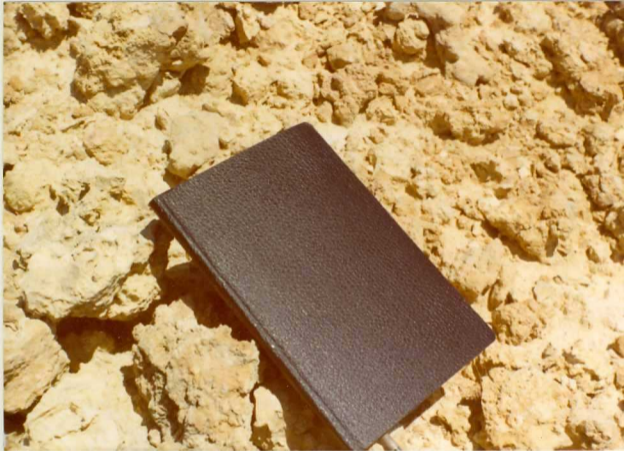
VISTA PARCIAL DE LA FORMACION YESIFERA DEL MIOCENO SUPERIOR-PLIOCENO (Ty^{Bc2-3}_{c12-2}).

LOS NIVELES ROJIZOS CORRESPONDEN A LAS ARCILLAS YESIFERAS.



LB. 2060.

PANORAMICA DE UNA EXPLOTACION DE YESOS Y ARCILLAS YESIFERAS, ACTUALMENTE
ABANDONADA, EN EL TERMINO DE LOS YESARES. CORRESPONDE A LA FORMACION Tc^{Bc-B}_{c12-21}



LB. 2061.

DETALLE DE UN NIVEL DE CALIZAS OSCURAS PERTENECIENTES AL PLIOCUATERNARIO
(T_{2am}^B), EN LAS PROXIMIDADES DE LA JORQUERA.



LB. 2062.

VISTA PARCIAL DE LA FORMACION DE GRAVAS SILICEAS (Q_1), EN LAS PROXIMIDADES DEL CAMINO DE LOS VALENCIANOS.



LB. 2063.

VISTA PARCIAL DEL GLACIS (QG). AL FONDO LOS PRIMEROS RELIEVES CRETACICOS DE LA SIERRA DE CHINCHILLA.



LB. 2064.

ASPECTO PARCIAL DE UNA TERRAZA BAJA ($Q_{1-2}T$), EN EL BARRANCO DE CAÑAHORRO, EN LAS PROXIMIDADES DE LA CARRETERA DE VALDEGANGA A CASAS DE JUAN NUÑEZ.